



شرایط تشکیل بلورهای گارنت زونینگ دار در دگرگونی مجاورتی توده نفوذی حسن آباد، جنوب غربی تفت

سمیرا زندی فر^۱، محمد علی ولیزاده، محمد علی برقی

دانشکده زمین شناسی، پردیس علوم، دانشگاه تهران

دریافت مقاله: ۱۳۸۸/۱/۱۸، نسخه نهایی: ۱۳۸۸/۴/۱۵

چکیده

در هاله دگرگونی مجاورتی اطراف گرانوودیوریت‌های روستای حسن آباد یزد، فراوانی بلورهای گارنت در زون‌های مختلف دگرگونی، که برخی از این بلورها زونینگ واضحی را نشان می‌دهند، قابل توجه می‌باشد. نتایج حاصل از آنالیزهای نقطه‌ای گارنت‌ها با میکروسکپ الکترونی روبشی (SEM) از مرکز به سمت حاشیه نشان داد که گارنت‌ها متعلق به سری گراندیت می‌باشند و تغییر ناگهانی عناصر Al و Fe از مرکز به سمت حاشیه نشان دهنده تشکیل منطقه‌بندی گارنت‌ها در هنگام رشد بلور است، ولی در اطراف شکستگیها در اثر نفوذ آبگون‌ها منطقه‌بندی به طور موضعی از بین رفته است. بررسیهای انجام شده بر روی تغییرات عناصر از مرکز به حاشیه بلور نشان می‌دهد که عامل اصلی ایجاد منطقه‌بندی نوسانی در گارنت‌های مورد مطالعه، نآمیختگی در سیستم دوتایی گروسوولار-آندرادیت بوده و با تغییر در ترکیب آبگون‌های گرمابی ادامه یافته است.

واژه‌های کلیدی: گارنت، زونینگ، دگرگونی مجاورتی، روستای حسن آباد، یزد.

مقدمه

می‌گردد. بر این اساس تعبیر و تفسیر داده‌های حاصل از آنالیزهای زونینگ گارنت به تعیین نوع ساختمان منطقه‌ای آن بستگی دارد. محققان عقیده دارند که بررسی زونینگ در گارنت‌های سری گراندیت می‌تواند رهگشای شناخت سیستم حاکم بر محیط در زمان تشکیل اسکارن باشد [۱۱].

در این بررسی بلورهای گارنت زونینگ دار در اسکارن مجاور توده نفوذی حسن آباد-یزد، با استفاده از تجزیه نقطه‌ای SEM بررسی و نوع زونینگ و همچنین دلایل تشکیل آنها مورد مطالعه قرار گرفت.

زمین‌شناسی منطقه

اسکارن حسن آباد در اثر نفوذ توده گرانوودیوریتی با سن می‌وسن مربوط به نوار ارومیه-دختر در آهکهای کرتاسه ایجاد شده است (شکل ۱). این نوار ماقمایی-متالوژنیک موازی نوار چین خوردگی-برخوردی زاگرس می‌باشد که در شمال شرقی

یکی از مهمترین مسائل در مطالعه سنگ‌های دگرگونی، بازسازی شرایط فشار و دمایی می‌باشد که سنگ مورد مطالعه تحمل کرده است. گارنت به واسطه ترکیب خود به همراه کانیهای مناسب دیگر به عنوان ژئومبارومتری مطلوب عمل می‌نماید [۱]. مطالعه ترکیب شیمیایی زونینگ کانیهای آذرین و دگرگونی، همزمان با شروع استفاده از میکروسکپ الکترونی، یعنی از اوایل دهه ۷۰ میلادی آغاز شد، و اولین مطالعات انجام شده در خصوص ساختمان منطقه‌ای کانیهای دگرگونی بر روی زونینگ بلورهای گارنت بوده است [۴، ۳، ۲]. منطقه‌بندی کانیها در محیط‌های گوناگون زمین‌شناسی از دماهای بسیار پایین (در حد دیاژنز) [۵] تا رژیم‌های حرارتی بالا (حتی هنگام تبلور ماقمایی) [۶] مشاهده می‌شود.

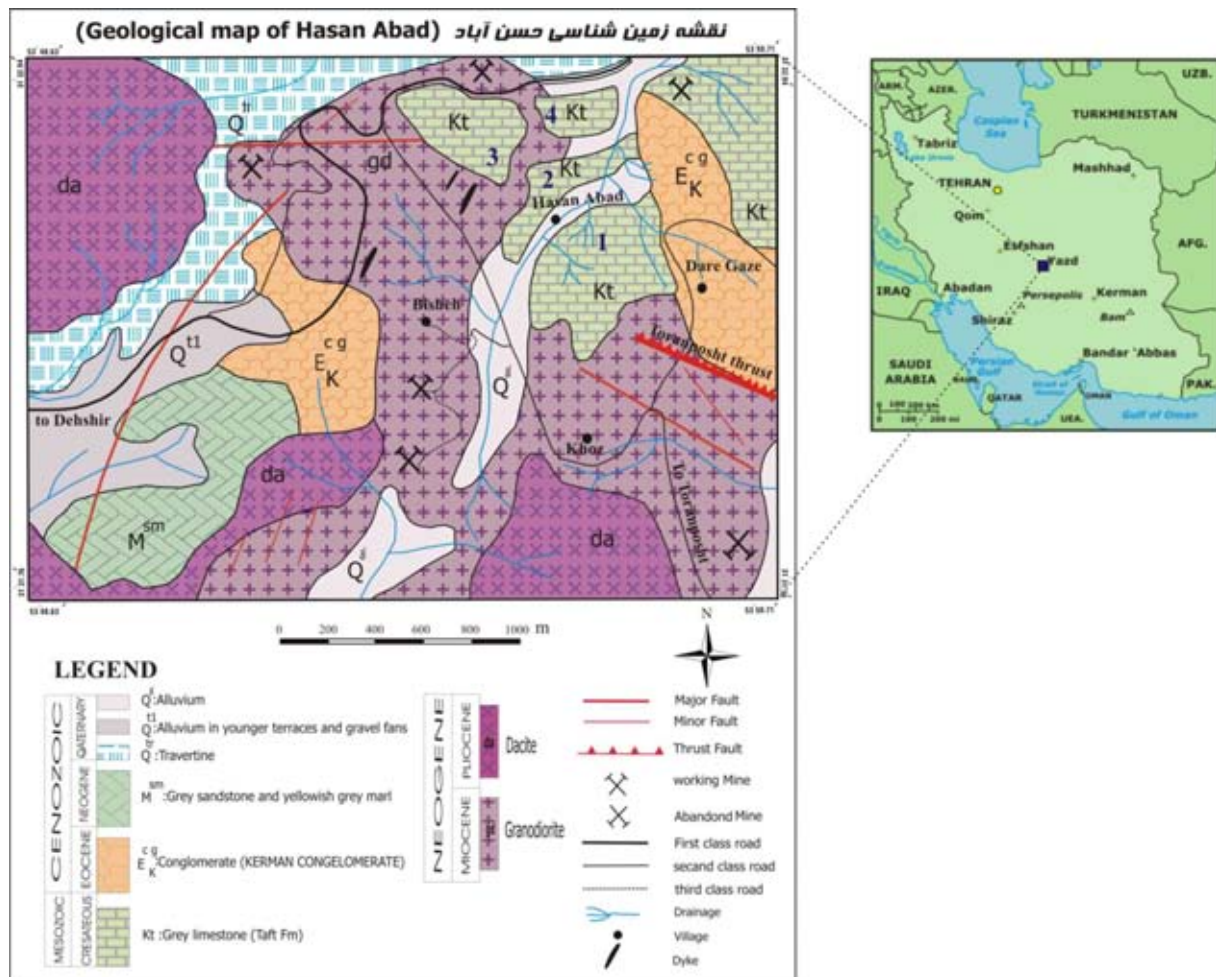
زونینگ بلورهای گارنت در سنگهای دگرگونی در اثر فرآیندهایی از قبیل رشد بلور [۷]، نشر [۹، ۸] و یا نشت آبگون‌ها در بلورهای گارنت قبل از تشکیل شده [۱۰] ایجاد

آبرفتها و همچنین تراورتنهای عهد حاضر که هم‌اکنون نیز از چشم‌های تراورتن‌ساز در حال نهشته شدن است تشکیل می‌دهند (شکل ۲). توالی رسوی مزوژوئیک به وسیله کنگلومرا (کنگلوماری کرمان) و سنگهای آتشفسانی-رسوی ایوسن پوشیده می‌شود [۱۴]. نهشته‌های میوسن با رسوبات مارن و ماسه‌سنگ ریزدانه با رنگ عمومی ارغوانی آغاز می‌شود. پایان بخش رسوبات میوسن در ناحیه مورد بررسی، لایه‌های ماسه‌سنگ و کنگلومرا به رنگ خاکستری تیره است. سنگهای آذرین گسترش وسیعی در منطقه مورد مطالعه دارند. این سنگها دارای طیف ترکیبی از داسیت، آندزیت و گرانوپوریت، کوارتزدیوریت و دیوریت می‌باشد.

این زون گسلشی قرار دارد. ماقم‌اتیسم و کانی زایی مرتبط با آن در نتیجه فرونش در نوار برخوردی زاگرس ایجاد شده است [۱۲]. منطقه مورد مطالعه به شدت تکتونیزه بوده و کلیه واحدهای سنگی آن جابه‌جا شده‌اند. این فعالیت به علت قرارگیری آن در یک زون گسلی بین گسل اصلی دهشیر-بافت و گسل توران‌پشت-شممس‌آباد که یکی از گسلهای فرعی و منشعب از آن است، بیش از مناطق مجاور می‌باشد. این پیکره گسلی متاثر از آخرین رخداد زمین‌ساختی آلب بوده که بی‌آمد آن ولکانیسم به صورت گنبدهای آتشفسانی است [۱۳]. قدیمی‌ترین سنگهایی که در این منطقه رخمنون دارند مربوط به کرتاسه بوده (آهک سازند تفت) و جوانترین سنگها را



شکل ۱۰. تصاویری از کنتاکت توده نفوذی در منطقه مطالعه. شکل بالا نمایی دور از کنتاکت را نشان می‌دهد و تصویر پائین کنتاکت را از فاصله نزدیک به نمایش می‌گذارد (نگاه به غرب).



شکل ۲. نقشه زمین شناسی منطقه مورد مطالعه در جنوب غربی شهرستان یزد.

این منطقه هم برون اسکارن و هم درون اسکارن مشاهده شده است، اما عمدتاً برون اسکارن می‌باشد. چهار توده آهکی که دستخوش دگرگونی مجاورتی قرار گرفته‌اند در شکل ۱ با شماره مشخص شده‌اند. توده ۱، ۲ و ۳ کاملاً آهکی بوده و توده ۴ تا اندازه‌ای دلومیتی است.

در منطقه ۱ هاله دگرگونی مجاورتی گسترش زيادي دارد. بلورها دانه‌ريز و انهدراال تا سابهدرال هستند و بافت آن گرانوبلاستيك است. تنوع کانی‌شناسی در آن محدود بوده و پاراژنز کانيهای آن شامل: گارنت (گروسولار)+ ديوپسید+ وزوويانيت+ اپيدوت می‌باشد و زون‌بندی خاصی در اينجا قابل تشخيص نیست. مناطقه ۲ و ۳ از تمام لحظ شبيه هستند.

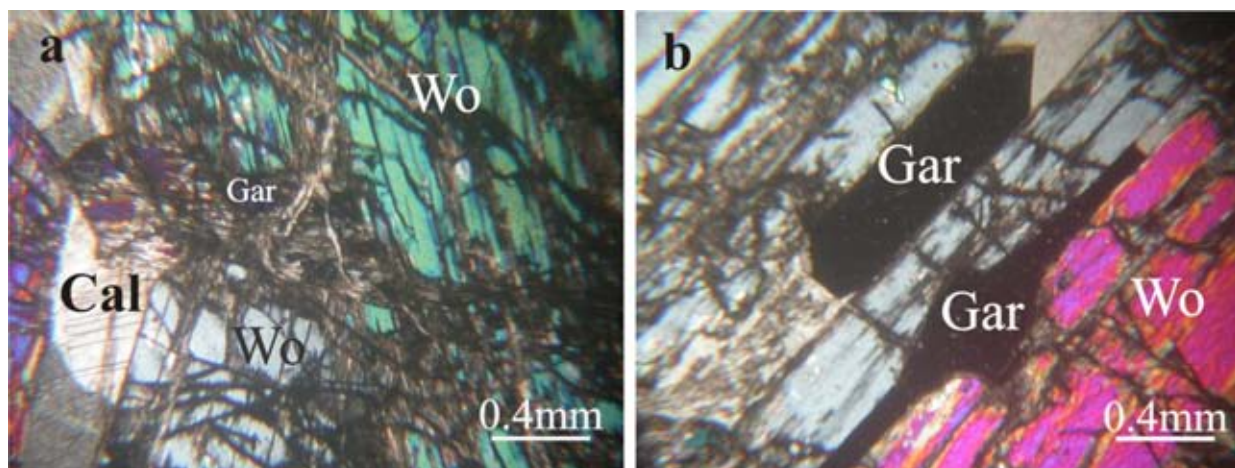
دگرگونی مجاورتی

نفوذ استوک گرانودیوریتی - دیوریتی حسن آباد موجب دگرگونی مجاورتی سنگهای اطراف خود شده و مجموعه‌ای از سنگهای دگرگونی مجاورتی شامل متاولکانیک، متاسندستون و اسکارن را به وجود آورده است. گستردنگی هاله‌های دگرگونی مجاورتی اطراف این توده‌های نفوذی متغیر بوده و در حد چندین سانتی‌متر تا ۷۰۰ متر می‌باشد. تغییرپذیری وسعت هاله‌های دگرگونی اسکارن حسن آباد می‌تواند با توده نفوذی زیرین در ارتباط باشد و همچنین دما و فعالیت سیال در سنگهای اطراف اسکارن می‌توانند دلایلی برای این تغییرپذیری باشند^[۱۵]. این اسکارن‌ها در چهار منطقه مورد مطالعه قرار گرفته‌اند. پاراژنز کانیهایا در هر منطقه تا اندازه‌ای با مناطق دیگر متفاوت است. در

مشابه مناطق ۲ و ۳ و با اختلاف اندک در ترکیب کانی‌شناسی با هم تشخیص داده شده است، که از کنタکت به سمت سنگهای میزبان عبارتند از: ۱- زون ولاستونیت- گارنت (شامل مجموعه کانیهای ولاستونیت، گارنت، دیوپسید، کلینتونیت، کلسیت، اسپینل، فورستریت)، ۲- زون ولاستونیت- دیوپسید (شامل مجموعه کانی‌های ولاستونیت+ دیوپسید + گارنت، وزوویانیت + کلسیت + کلینتونیت + مارگاریت + اسپینل)، ۳- زون وزوویانیت- دیوپسید (شامل مجموعه کانیهای وزوویانیت + دیوپسید + کلسیت + گارنت + اپیدوت) و ۴- زون کلسیت- اپیدوت (شامل مجموعه کانیهای کلسیت + اپیدوت + وزوویانیت + گارنت) می‌باشند. در این منطقه اندازه بلورها متوسط تا درشت بلور می‌باشند. برخی از گارنت‌هایی که ولاستونیتها را احاطه کرده‌اند زونینگ نوسانی مشخصی را به نمایش می‌گذارند. آهکهای منطقه ۴ مقداری دولومیتی و آلومینیومدار می‌باشند. این دولومیت منشا ثانوی دارد و می‌تواند به صورت بلورهای شفاف سنگ آهک، جانشین سازنده‌های فسیلی و یا پر کننده شکستگی‌های کوچک بعدی پدیدار شود. این منطقه تا حد زیادی شبیه مناطق ۲ و ۳ است. به علت جهت‌گیری ترجیحی میکاها در این منطقه، لایه‌های روشنی در برخی مناطق به چشم می‌خورد (البته به آسانی قابل مشاهده نیستند). این میکاها شامل کلینتونیت و تا اندازه‌ای بسیار محدود مارگاریت (افزیت) می‌باشند. در اینجا نیز چهار زون آزمایشگاه XRD دانشگاه تهران صورت پذیرفت.

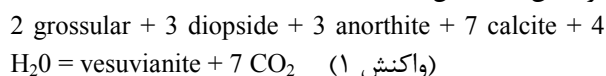
با توجه به گستردگی هاله دگرگونی در منطقه چهارم و تنوع کانی‌ای آن، در اینجا برای پرهیز از دوباره کاری، نتایج مطالعات این منطقه آورده شده است. ابعاد کانیها در این هاله دگرگونی نسبتاً درشت است. ولاستونیت در محل کنタکت از فراوانی زیادی برخوردار بوده و کانی‌هایی از قبیل گارنت، دیوپسید و کلسیت را به صورت ادخال در خوددارا هستند (شکل ۳).

نتیجه دگرگونی مجاورتی این آهکها پیدایش چهار زون دگرگونی است. که به ترتیب از محل کنタکت با توده نفوذی به سمت سنگهای میزبان عبارتند از: زون ولاستونیت- گارنت (شامل مجموعه کانیهای ولاستونیت + گارنت + دیوپسید + کلسیت)، زون ولاستونیت- وزوویانیت (شامل مجموعه کانی‌های ولاستونیت + وزوویانیت + گارنت + دیوپسید + کلسیت)، زون وزوویانیت- دیوپسید (شامل مجموعه کانیهای وزوویانیت + اپیدوت) و زون کلسیت- اپیدوت (شامل مجموعه کانیهای وزوویانیت + اپیدوت) می‌باشند. در این منطقه اندازه بلورها متوسط تا درشت بلور می‌باشند. برخی از گارنت‌هایی که ولاستونیتها را احاطه کرده‌اند زونینگ نوسانی مشخصی را به نمایش می‌گذارند. آهکهای منطقه ۴ مقداری دولومیتی و آلومینیومدار می‌باشند. این دولومیت منشا ثانوی دارد و می‌تواند به صورت بلورهای شفاف سنگ آهک، جانشین سازنده‌های فسیلی و یا پر کننده شکستگی‌های کوچک بعدی پدیدار شود. این منطقه تا حد زیادی شبیه مناطق ۲ و ۳ است. به علت جهت‌گیری ترجیحی میکاها در این منطقه، لایه‌های روشنی در برخی مناطق به چشم می‌خورد (البته به آسانی قابل مشاهده نیستند). این میکاها شامل کلینتونیت و تا اندازه‌ای بسیار محدود مارگاریت (افزیت) می‌باشند. در اینجا نیز چهار زون



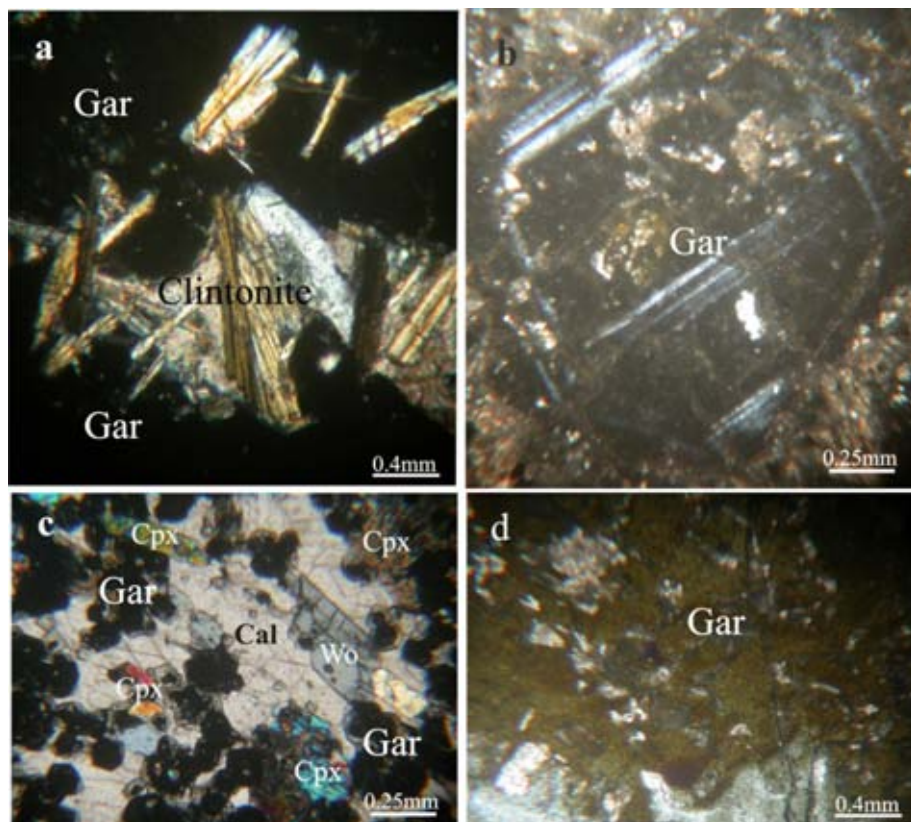
شکل ۳. تصاویر میکروسکوپی از ادخال گارنت و کلسیت درون ولاستونیتها (نور pl). Gr: گارنت، Cal: کلسیت، Wo: ولاستونیت.

وزوویانیت فراوانی زیادی در این منطقه دارد و در بعضی از موارد جانشین گارناتهای درشت بلور نزدیک کن tact می‌شود (واکنش ۱) (شکل ۶).



مطالعات زیادی تأیید می‌کنند که پاراژنهای دارای وزوویانیت به سیالات غنی از آب منحصر می‌شوند [۱۹، ۲۰]. در یک آنالیز کیفی در سیستم $\text{CO}_2 - \text{H}_2\text{O} - \text{SiO}_2 - \text{Al}_2\text{O}_3 - \text{MgO} - \text{CaO}$ توسط [۱۸] نشان داده شد که وزوویانیت در دماهای بالا در غیاب کوارتز و موقعیتهای غنی از آب ($X_{\text{H}_2\text{O}} > 0.8$) پایدار است. کانیهای فرعی شامل تورمالین و اپک می‌باشند. پیریت یوهدرال افسان در سرتاسر نمونه‌ها مشاهده می‌شود. از دیگر کانیهای اپک می‌توان ملاکیت، کالکوپیریت و هماتیت را نام برد.

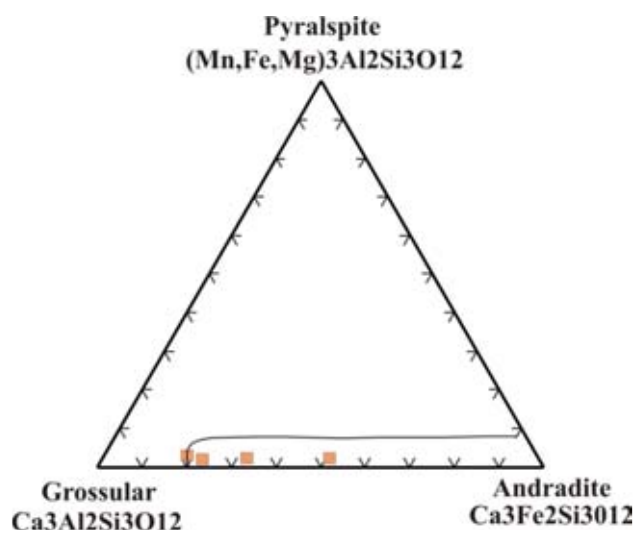
گارناتهای احاطه کننده ولاستونیت‌ها درشت بلور و دارای زونینگ نوسانی می‌باشند، همراه برخی از این گارناتهای کلینیتونیت مشاهده می‌شود (شکل ۴) و همچنین در بعضی از موارد حاشیه بلورهای گارنت در حال تبدیل به وزوویانیت می‌باشند. با دور شدن از توده آذرین گارنت دانه‌ریز و ایزوتروپ جانشین گارنت ان ایزوتروپ و درشت بلور می‌شود. آنالیزهای میکروپریوپ گارناتهای حسن‌آباد (جدول ۱) بر روی نمودار سه ضلعی گروسولار- آندرادیت- اسپسارتین [۱۵]، نشان می‌دهد که محتوای منگنز این کانیها قابل اغماض بوده و از نظر ترکیب کانی‌شناسی در دو قطب متفاوت آندرادیت و گروسولار قرار می‌گیرند (شکل ۵). بر اساس نمودار [۱۵]، گارناتهای منطقه مورد مطالعه نشان‌دهنده اسکارن‌های مس، آهن و طلا هستند. کلینوپیروکسن‌های موجود با دانه‌های سابهدرال (بیشتر از ۱۰۰ میکرون) محلول جامدی از هدبهرثیت- دیوپسید را نشان می‌دهند [۱۷].



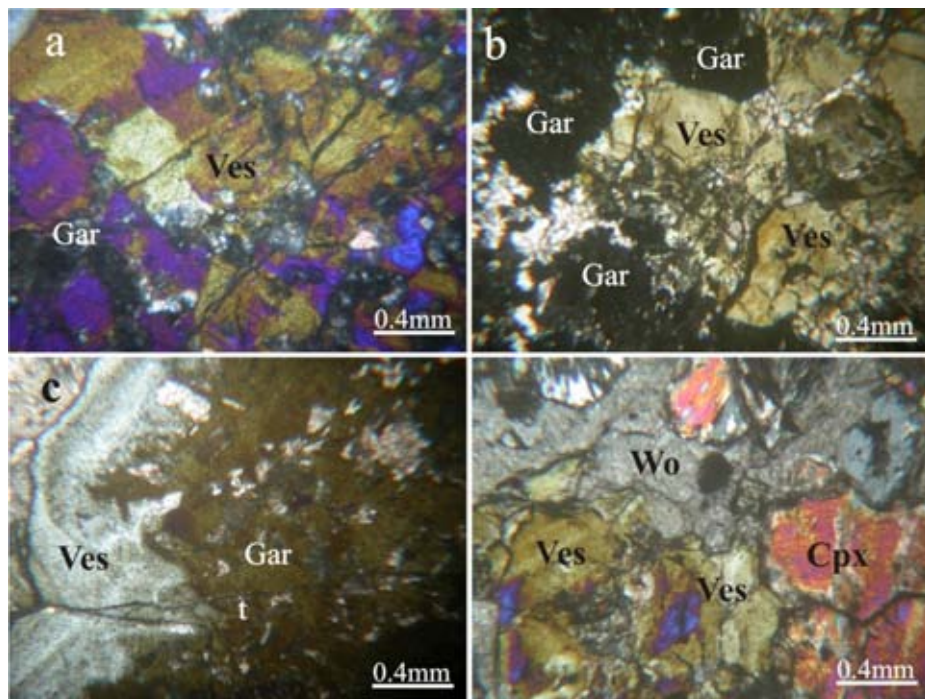
شکل ۴ a-d گارناتهای اولین زون دگرگونی همراه کانیهای همزیست با آن. (نور pl). Gr: گارنت، Cal: کلسیت، Cpx: کلینوپیروکسن).

جدول ۱. نتایج الکترون میکروپرور (به وسیله دستگاه میکروسکوپ الکترونی روبشی (SEM) مدل VG2080573IR شرکت متالوژی رازی) گارنت‌های اسکارن حسن‌آباد.

Sample	Gr	Gr2	Gr3	Gr4
SiO ₂	۳۵/۲۴	۳۸/۰۲	۳۸/۶۶	۳۸
TiO ₂	۲/۱			۰/۴۸
Al ₂ O ₃	۱۰/۱۷	۱۷/۰۸	۱۷/۴	۱۴/۵۹
Cr ₂ O ₃		۰/۱۶		
Fe ₂ O ₃	۱۳/۸	۶/۹۷	۶/۰۵	۸/۹۷
FeO	۲/۹	۱/۶۵	۱/۴۷	۲/۳۵
MnO	۰/۰۷	۰/۱۱		۰/۰۳
MgO	۰/۵۱	۰/۰۸	۰/۵۴	۰/۳۲
CaO	۳۶	۳۶/۵۸	۳۶/۵۵	۳۶/۶۱
Total	۱۰۰/۸۹	۱۰۰/۶۵	۱۰۰/۶۷	۱۰۰/۳۵
Number of Ions on the basis of 24 oxygens				
Si	۵/۱۳	۵/۵۵	۵/۷	۵/۵۲
Ti	۰/۳۱	•	•	۰/۰۵۴
Al	۱/۴	۲/۴۵	۲/۵۷	۱/۶۸
Fe ₃	۲/۰۰۲	۰/۸۹	۰/۷۵	۱/۳۷
Cr	•	۰/۰۱	•	•
Fe ₂	۰/۲۹	۰/۱۸	۰/۱۵	۰/۲۳
Mg	۰/۰۱۲	۰/۰۱۱	۰/۱۴	۰/۰۷
Mn	۰/۰۰۴	۰/۰۰۷	•	۰/۰۰۲
Ca	۵/۸	۵/۹۱	۵/۸۹	۵/۷۱
And	۵۱/۱۷	۲۲/۶۰۶	۲۰/۹۵۲	۳۲/۵۰۲
Gross	۴۶/۷۴۹	۷۵/۳۵۷	۷۷/۰۳۳	۶۶/۱۹۸
Pyrope	۱/۹۳	۰/۳۰۳	۲/۰۱۴	۱/۲۲۴
Spess	۰/۱۵۱	۰/۲۳۶	•	۰/۰۶۶



شکل ۵ تغییرات ترکیبی گارنت در اسکارن رostای حسنآباد یزد.



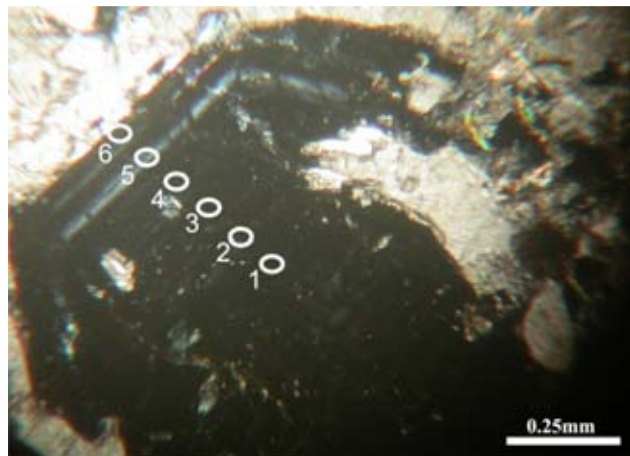
شکل ۶ تصویر میکروسکوپی وزوویانیت‌های اسکارن منطقه مورد مطالعه همراه کانیهای همزیست با آن، c: تبدیل گارنت به وزوویانیت را نشان می‌دهد (نوار pl). Gr: گارنت، Cal: کلسیت، Cpx: کلینوپیروکسن، Wo: ولستونیت، Ves: وزوویانیت).

شکل ۸ تغییرات در صدوزنی اکسیدهای عناصر Si, Ca, Al, Fe را از مرکز به سمت حاشیه بلور نشان می‌دهد. تغییرات در صدوزنی SiO_2 و CaO از مرکز به سمت حاشیه ناچیز است ولی در صدوزنی Al_2O_3 و Fe_2O_3 مخصوصاً در حاشیه به شدت نوسان نشان می‌دهد. در شکل ۷ میزان دو زون کامل‌لار مشخص است که نشانگر تغییرات ناگهانی در ترکیب شیمیایی مواد تشکیل‌دهنده گارنت است. این تغییرات ناگهانی و نوسانی میزان عناصر و تکرار تغییرات مشخص دلالت بر آن دارد که تغییرات طی رشد، ایجاد کننده منطقه‌بندی گارنت‌های مورد مطالعه می‌باشد. ساختمان منطقه‌ای رشدی به پدیده تفریق در طول رشد نسبت داده شده است [۲۱]. این منطقه‌بندی رشدی در اطراف بعضی از شکستگیها در اثر نشت آبگون‌ها به صورت موضعی از بین رفته است. در مجاورت این شکستگیها ترکیب گارنت‌ها متفاوت بوده است (شکل ۷). در دماهای پایین دگرگونی، گارنت‌ها معمولاً زونینگ مشخصی را نشان می‌دهند.

بحث و بررسی

گارنت‌های موجود در منطقه مورد مطالعه دو نوع دارد. نوعی که ولاستونیت را احاطه کرده ایزوتروپ، قهوه‌ای، خودشکل و درشت‌بلور است. در این نوع زوناسیون مشاهده می‌گردد. با دور شدن از توده آذرین، ولاستونیت ناپدید می‌گردد و گارنت ان‌ایزوتروپ نیز جای خود را به نوع ایزوتروپ که دانه‌ریز است، می‌دهد.

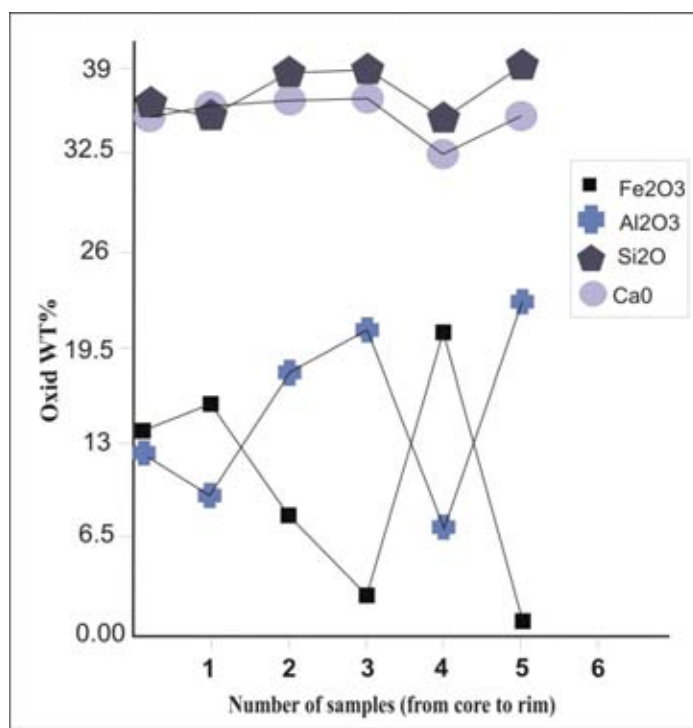
تجزیه نقطه‌ای با دستگاه میکروسکوپ الکترونی روبشی Vega (SEM) مدل VG2080573IR در شرکت متالوژی رازی روی نمونه‌های دارای گارنت‌های زونه اسکارن حسن‌آباد انجام شده است (جدول ۲). شکل ۷ تصویر میکروسکوپی یک بلور گارنت با زون‌بندی مشخص را نشان می‌دهد. ظهرور باند روشن در بلور گارنت، نشانه افزایش عضو انتهای آندرادیت در سری محلول جامد گروسولار-آندرادیت بوده و ظهرور باند تیره، نشانه افزایش عضو انتهای گروسولار در سری محلول جامد است.



شکل ۷. تصویر یک بلور گارنت با زون‌بندی. دوایر سفید رنگ نشان‌دهنده مکان آنالیز است.

جدول ۲. نتایج تجزیه الکترون میکروپروب از بلور گارنت زونه در اسکارن روستای حسن‌آباد- یزد

Sample.n	G0	G1	G2	G3	G4	G5
SiO ₂	۳۷/۱۴	۳۵/۳۴	۳۸/۶۶	۳۸/۹	۳۵/۱	۳۹/۱
TiO ₂	۱/۵۹	۲/۱۰	-	-	۲/۱	-
Al ₂ O ₃	۱۲/۵۸	۱۰/۱۷	۱۷/۴۰	۲۱/۱	۶/۸	۲۳/۳
Fe ₂ O ₃	۱۳/۱۵	۱۵/۸۰	۷/۰۵	۲/۳	۲۰/۹۹	۱/۵
FeO	۳/۰۴	۳/۱۲	۱/۴۷	۰/۷۸	۳/۷۵	۰/۲۵
MnO	-	۰/۰۷	-	-	-	۰/۵۳
MgO	۰/۵۰	۰/۵۱	۰/۳۴	-	۰/۹۹	-
CaO	۳۵/۰۷	۳۶/۰۰	۳۶/۵۵	۳۶/۹۹	۳۲/۰۵	۳۵/۲
Na ₂ O	-	۰/۱۴	-	-	-	-
K ₂ O	-	۰/۰۸	-	-	-	-
Total	۱۰۳/۰۴	۹۹/۷۵	۱۰۱/۴۷	۹۹/۷۴	۹۹/۴	۹۹/۸۸
Number of Ions on the basis of 24 oxygens						
Si	۵/۶۱	۵/۱۴	۵/۷	۵/۷۶	۵/۰۱	۵/۸۵
Ti	۰/۱۱	۰/۳۱	-	-	۰/۳۱	-
Al	۱/۵۹	۱/۴۵	۲/۵۶	۳/۸۰	۱/۳۱	۴/۰۶
Fe ₃	۱/۹۸	۲/۰۱	۰/۹	۰/۲۷	۲/۹۵	۰/۰۹۵
Fe ₂	۰/۳۲	۰/۴۲	۰/۱۹	۰/۰۹	۰/۱۸	۰/۰۳۴
Mn	-	۰/۰۰۵	-	-	-	۰/۱۱
Mg	۰/۱۷	۰/۱۸	۰/۱۳	-	۰/۱۹	-
Ca	۵/۶۱	۵/۱۱	۵/۸۹	۵/۹۵	۵/۱۲	۵/۶۹
Na	-	۰/۰۴۴	-	-	-	-
K	-	۰/۰۱۷	-	-	-	-
And	۵۱/۱۷	۵۲/۵	۳۷/۵	۱۰/۱	۹۲/۲	۴/۵
Gross	۴۶/۷۴۹	۴۵/۷۸	۴۱/۶	۸۹/۴	۶/۳	۹۴/۰
Pyrope	۱/۹۳	۱/۵	۱۸/۷	۰/۵	۲/۵	۱/۵
Spess	۰/۱۵۱	۰/۱۳	۲/۲	-	-	-



شکل ۸. نتایج تغییرات درصد وزنی اکسیدهای Fe_2O_3 , Al_2O_3 , SiO_2 , CaO در زونینگ بلور گارنت.

گارنت‌هایی که در فاصله زمانی بین دوره‌های جوشش رشد می‌کنند، مقدار گروسولار بالاتری در سری محلول جامد دارند (در این زمان فوگاسیته اکسیژن به وسیله مجموعه کانیهای موضعی به عنوان بافرهای فوگاسیته اکسیژن پایین نگهداشته می‌شود و در نتیجه میزان Fe^{+3} در ترکیب آبگون پایین می‌آید).

افزایش X_{CO_2} , $f\text{O}_2$ و آبگون‌های با شوری بالا موجب افزایش عضو انتهایی آندرادیت در سری محلول جامد گراندیت می‌شود [۲۵]. حضور بالای آندرادیت در سری محلول جامد، با رشد سریع گارنت و شارش سریع آبگون‌های گرمابی همراه می‌باشد [۲۶].

دومین دلیل در منطقه‌بندی رشدی نوسانی گارنت‌هایی که با تغییرات ناگهانی در ترکیب شیمیایی همراه هستند، ناآمیختگی در سیستم دوتایی گروسولار-آندرادیت است. نمودار تغییرات درصد وزنی عناصر Al و Fe نشان می‌دهد که میزان این دو عنصر در مرکز بلور به طور ناگهانی تغییر می‌کند و جانشین یکدیگر می‌شوند که این موضوع می‌تواند ناآمیختگی در سیستم گراندیت را نشان دهد. این جانشینی در حاشیه‌های بلور کمتر می‌شود که به دلیل تغییر ترکیب آبگون‌های موجود در هنگام

زیرا بعضی عناصر بین گارنت و کانیهای همراه با آن به صورت همگن توزیع شده‌اند که ناشی از سرعت کند انتشار درون دانه‌ای است، اما زمانی که دمای دگرگونی بیش از ۷۰۰ درجه سانتی‌گراد باشد، زونینگ رشدی گارنت‌ها در نتیجه سرعت بالاتر پخش تا حدودی یا کاملاً همگن خواهد شد [۲۲].

دو دلیل اصلی در مورد منطقه‌بندی رشدی نوسانی گارنت‌ها وجود دارد که عبارتند از: ۱- عوامل خارجی (که عمدتاً تغییرات در ترکیب آبگون‌های گرمابی می‌باشد که گارنت‌ها از آن نهشته می‌شوند); ۲- ناآمیختگی در سیستم دوتایی گروسولار-آندرادیت. ترکیب آبگون‌های موجود در درز و ترکهای سنگ توسط عوامل خارجی (نشست) و داخلی (در اثر تجزیه کانیهای موجود در سنگ) کنترل می‌شود. در زون‌هایی که عضو انتهایی گروسولار افزایش می‌یابد، کنترل کننده‌های داخلی و در زون‌هایی که عضو انتهایی آندرادیت افزایش نشان می‌دهد، کنترل کننده‌های خارجی نقش بیشتری نشان می‌دهند [۲۳]. به عقیده [۲۴] دوره‌های متناوب شارش آبگون در سیستم‌های گرمابی با جوشش همراه است. فرآیند جوشش موجب اکسایش در آبگون و در نتیجه افزایش نسبت $a_{\text{Fe}}^{+3}/a_{\text{Al}}^{+3}$ شده، لذا تمرکز عضو انتهایی آندرادیت در محلول جامد بالا می‌رود.

- [4] Atherton M.P., Edmunds W.M. "A electron microprobe study of some zoned garnets from metamorphic rock", *Earth Planet. Sci. Lett.* (1966) 185-193.
- [5] Reeder R.J., Grams J.C. "Sector Zoning in Calcite cement Crystals, Implications in carbonates". *Geochimica et Cosmochimica Acta*. 51(1987) 187-247.
- [6] Sibley D.F., Vogel T.A., Walther B.M., Byerly G. "The Origin of Oscillatory Zoning in plagioclase, Adiffusion and growth controlled model". *American J. of Science*. 276 (1976) 275-281.
- [7] Hollister L.S. "Garnet Zoning; An interpretation based on the Rayleigh fractionation model". *Science*. 154(1966) 1647-1651.
- [8] Blackburn W.H. "Zoned and unzoned garnets from the Grenville Gneisses around Gananorue Ontario". *Canadian Mineral*. 9(1969) 691-698.
- [9] Grant J.A., Weiblen P.W. "Retrograde zoning in garnet near the end Sillimanite isograd". *Am. J. Sci.* (1971) 270-296.
- [10] Hwang S.L., Yui T.F., Chu H.T., Shen P. "Submicron polyphase inclusions in garnet from the Tananao metamorphice complex, Taiwan, a key to unraveling other wise unrecognized metamorphic events". *J. of Metamorphic Geology*. 19(2001) 599-605.
- [11] Clechenko C.C., Valley J.W. "Oscillatory zoning in garnet from the Willsboro Wollastonite Skarn, Adirondack Mts, New York, a record of shallow hydrothermal processes preserved in a granulite facies terrane". *J. metamorphic Geol.* 21(2003) 771-784.
- [12] Berberian M., King G.C.P. "Towards a paleogeography and tectonic evolution of Ira". *Canadian Journal of Earth Sciences*. 18(1981) 210-265.
- [13] دهقان منشادی ب.، "مطالعه پترولوجی و ژئوشیمی ماقماتیسم و دگرگونی منطقه دره زرشک توران پشت، جنوب غربی یزد". پایان نامه کارشناسی ارشد دانشگاه تهران، (۱۳۷۹).
- [14] Zaravandi A., Liaghat S. "Geology of the Darreh-Zerreshk and Ali-Abad Porphyry Copper Deposits, Central Iran". *International Geology Review*. 47(2005) 620-646.
- [15] Timo'n S.M., Moro M.C., Cembranos M.L., Fernández A. "Contact metamorphism in the Los

رشد بلور است.

با توجه به این که در نمونه های حاوی گارنت های زونه، کلینیتونیت (به صورت انکلوزیون در گارنت) و وزوویانیت (در حاشیه بلور گارنت در حال تشکیل شدن می باشد) حضور دارد و هریک از این دو کانی در فوگاسیته اکسیژن خاص خود به وجود می آید [۱۵] حضور این دو کانی در منطقه مورد مطالعه دلالت بر ناپایداری شرایط fO_2 و در نتیجه شرایط آبگون در منطقه دارد. از این رو منطقه بندی گارنت ها به دلیل ناامیختگی در سیستم گراندیت آغاز شده و بعد از آن تحت تاثیر تغییر ترکیب آبگون ها ادامه یافته است.

نتیجه گیری

تجزیه نقطه ای SEM گارنت های منطقه نشان می دهد که گارنت ها از مرکز به سمت حاشیه ناهمگن و دارای زون بندی نوسانی هستند و مرز بین زون ها، ناگهانی است این موضوع نشان دهنده تغییرات ناگهانی در ترکیب شیمیایی مواد تشکیل دهنده است.

در نتیجه منطقه بندی موجود در هنگام رشد کانی به وجود آمده است. جریان آبگون در سیستم حاکم بر اسکارن منطقه، با دوره های جوشش همراه است. فرآیند جوشش موجب افزایش fO_2 شده و در پی آن موجب افزایش آندرادیت در سری محلول جامد می شود و در فاصله زمانی بین این دوره ها گروسولار به دلیل کاهش fO_2 ، افزایش می یابد. در اثر نفوذ آبگون ها منطقه بندی گارنت ها در اطراف شکستگی ها از بین رفته است. منطقه بندی گارنت ها با ناامیختگی در سیستم دوتایی گروسولار- آندرادیت شروع شده و با تغییر در ترکیب آبگون های گرمابی ادامه یافته است.

مراجع

- [1] Zeming Z., Yong Y., Zhang J." The compositional zoning of garnet in eclogite from western segment of Altyn Tag". *Chinese science Bulletin*. 45(2000) 79-83.
- [2].Chinner G.A., "Almandine in thermal aureoles." *J. Petrol.* 3(1962) 316-340.
- [3] Banno S. "Notes on Rock Forming minerals, Zoned structure of pyralspit in Sanbagawa schists in the Bessi area", Shikoku. *J.Geol. Soc. Japan*. 71(1965) 185-188.

- [22] Carlson W., Schwarze E. "Petrological significance of prograde homogenization of growth zoning in garnet: An example from the Liano Uplift". *J. of Metamorphic Geology*. 15(1997) 631-639.
- [23] Jamtveit B. "Oscillatory zonation patterns in hydrothermal grossular-andradite garnet, Nonlinear behavior in regions of immiscibility". *Am. Mineralogist*. 76(1991) 1319-1327.
- [23] Yardley B.W.D., Rochelle C.A., Barnicoat A.C., Lloyd G.E. "Oscillatory zoning in metamorphic minerals". An indicator of infiltration metasomatism. *Mineralogical Magazine*. 55(1991) 357-365.
- [25] Deer W. A., Howie R. A., Zussman J. "Rock-Forming Minerals Orthosilicates Garnet Groups IA". pp. (1989) 467-657.
- [26] Jamtveit B., Wogelius R.A., Fraser D.G., "Zonation patterns of skarn garnets, Records of hydrothermal system evolution". *Geology*. 21(1993) 113-116.
- [27] Jankovic S. "Metallogeny of the Alpine granitoids in the Tethyan-Eurasian metallogenic belt", in Proceedings of the 27th International Geological Congress. Moscow, August 4-14, 12: Utrecht, Netherlands, VNU Science Press. (1984) 247-273.
- Santos W skarn (NW Spain)". Mineralogy and Petrology*. 90(2007)109-140.
- [16] Meinert L.D., "Skarn and skarn deposite". *Geoscience Canada*.19(1992)145-162.
- [۱۷] زندی فر س. "بررسی کانی‌شناسی دگرگونی مجاورتی توده نفوذی روسنای حسن‌آباد یزد (جنوب غربی تفت)". پایان نامه کارشناسی ارشد دانشگاه تهران، (۱۳۸۷) ۱۹۸ ص.
- [18] Valley J.W., Peacor D.R., Bowman J.R., Essene E.J., Allard M.J. "Crystal chemistry of a Mg-vesuvianite and implications for phase equilibria in the system $\text{CaO}-\text{MgO}-\text{Al}_2\text{O}_3-\text{SiO}_2-\text{H}_2\text{O}-\text{CO}_2$ ". *J Metamorph Geol*.3(1985) 137-153.
- [19] Labotka T.C., Nabelek P.I., Papike J.J., Hover-Granath V.C., Laul J.C. "Effects of contact metamorphism on the chemistry of calcareous rocks in The Big Horse Limestone member, Notch peak, Utah". *Am. Mineral*. 73(1988) 1095-1110.
- [20] Abart R. "Phase equilibrium and stable isotope constraints on the formation of metasomatic garnet-vesuvianite veins (SW Adamello, N Italy). Contrib". *Mineral. Petrol*. 122(1995) 116-133.
- [21] Atherton M.P. "The variety in garnet biotite and chlorite composite in medium grad pelitic rocks from the Dalradian, Scotland, with particular reference to zonation in garnet. Contrib". *Mineral Petrol*. 18(1968) 347-371 .